

**V.A. Усольцев<sup>1,2</sup>, И.С. Цепордей<sup>2</sup>, В.П. Часовских<sup>1</sup>, А.А. Осмирко<sup>1</sup>**

<sup>1</sup> Уральский государственный лесотехнический университет, г. Екатеринбург

<sup>2</sup> Ботанический сад УрО РАН, г. Екатеринбург

**АДДИТИВНЫЕ РЕГИОНАЛЬНЫЕ МОДЕЛИ ФИТОМАССЫ ДЕРЕВЬЕВ И  
ДРЕВОСТОЕВ ЕВРАЗИИ. СООБЩЕНИЕ 1: РОД *Larix* Mill.**



**Ключевые слова:** лиственничные древостои, биосфера роль лесов, фитомасса деревьев и древостоеv, аллометрические модели, пробные площади, биологическая продуктивность, аддитивность уравнений, трансконтинентальные таблицы фитомассы.

Впервые на уникальных по объёму базам фактических данных о фитомассе деревьев и древостоеv на примере рода *Larix* Mill. разработаны трансевразийские аддитивные модели фитомассы лиственницы, и тем самым решена совмещенная проблема аддитивности и всеобщности моделей. Модель фитомассы деревьев гармонизирована двояко: в ней устранена внутренняя противоречивость «фракционных» и общего уравнения, и кроме того, она учитывает региональные различия равновеликих деревьев как по величине общей, надземной и подземной фитомассы, так и по ее фракционной структуре. Аддитивная модель фитомассы древостоеv гармонизирована также по двум уровням, один из которых обеспечивает принцип аддитивности фракций фитомассы, а второй связан с вводом «фиктивных» переменных, локализующих модель по экорегионам Евразии. Модель демонстрирует различия фитомассы древостоеv не только по абсолютным ее значениям для стволов, хвои, ветвей и корней, но и по их соотношениям, т.е. по структуре фитомассы. Предложенные модели и соответствующие таблицы для оценки фитомассы деревьев и древостоеv лиственницы дают возможность определения их фитомассы в различных экорегионах Евразии по данным измерительной таксации.

**V.A. Usoltsev, I.S. Tseporday, V.P. Chasovskikh, A.A. Osmirko**

**ADDITIVE REGIONAL MODELS OF TREE AND STAND BIOMASS FOR  
EURASIA. MESSAGE 1: GENUS *Larix* sp.**

**Key words:** genus *Larix* Mill., equations additivity, biosphere role of forests, biomass of trees and forests, allometric models, sample plots, biological productivity, transcontinental tables of biomass.

When using the unique in terms of the volumes of databases on the levels of a tree and stand of the genus *Larix* Mill., the trans-Eurasian additive allometric models of biomass of trees and forests for Eurasian larch forests are developed for the first time, and thereby the combined problem of model additivity and generality is solved. The additive model of tree

biomass of *Larix* is harmonized in two ways: it eliminated the internal contradictions of the component and the total biomass equations, and in addition, it takes into account regional differences of trees of equal sizes not only on total, aboveground and underground biomass, but also on its component structure, i.e. it reflects the regional peculiarities of the component structure of tree biomass. The additive model of forest biomass of *Larix* is harmonized in two levels too, one of which provides the principle of additivity of biomass components, and the second one is associated with the introduction of dummy independent variables localizing model for eco-regions of Eurasia.

---

**Усольцев Владимир Андреевич** - доктор сельскохозяйственных наук, заслуженный лесовод России, профессор кафедры менеджмента и управления качеством Института экономики и управления Уральского государственного лесотехнического университета, профессор, главный научный сотрудник Ботанического сада УрО РАН (Екатеринбург). Тел.: (343)254-61-59; e-mail: Usoltsev50@mail.ru.

**Usoltsev Vladimir Andreyevich** - Doctor of agricultural sciences, professor of the Department of quality management, Ural State Forest Engineering University, chief researcher at the Botanical Garden, Ural Branch of the Russian Academy of Sciences (Yekaterinburg). Phone: (343)254-61-59; e-mail: Usoltsev50@mail.ru.

**Цепордей Иван Степанович** – аспирант 2-го года обучения Ботанического сада УрО РАН (Екатеринбург). Тел.: (343)254-61-59; e-mail: ivan.tsepordey@yandex.ru.

**Tsepordey Ivan Sergeyevich** – postgraduent at Botanical Garden of Ural Branch of RAS (Yekaterinburg). Phone: (343)254-61-59; e-mail: ivan.tsepordey@yandex.ru.

**Часовских Виктор Петрович** - доктор технических наук, профессор, заслуженный работник высшей школы РФ, член Российской академии инженерных наук им. А.М. Прохорова, член Российской академии естественных наук, Full Member of European Academy of Natural History, директор Института экономики и управления Уральского государственного лесотехнического университета (Екатеринбург). Тел. (343)261-46-44; e-mail: u2007u@yandex.ru.

**Chasovskikh Viktor Petrovich** - Doctor of technical sciences, Professor, Full Member of European Academy of Natural History, Director of the Institute of Economics and Management, Ural State Forest Engineering University (Yekaterinburg). Phone: (343)261-46-44; e-mail: u2007u@yandex.ru.

**Осмирко Анна Андреевна** – аспирант 3-го года обучения. Тел.: (343)254-61-59; e-mail: Usoltsev50@mail.ru.

**Osmirko Anna Andreevna** - third-year postgraduent. Phone: (343)254-61-59; e-mail: Usoltsev50@mail.ru.

---

Современные методы моделирования биологической продуктивности деревьев и древостоев получили развитие в направлении обеспечения аддитивности фракций фитомассы (Bi et al., 2010; Dong et al., 2015) и перехода от «псевдо-всеобщих» аллометрических моделей к фактически всеобщим, предполагающим регионализацию модели фитомассы путем введения фиктивных переменных (Fu et al., 2012; Усольцев и др., 2017), что выполняется обычно на локальных массивах фактических данных о фитомассе деревьев и древостоев. Сформированные нами базы данных о фитомассе деревьев (Усольцев, 2016; Usoltsev, 2015, 2016) и древостоев (Усольцев, 2010; Usoltsev, 2013) для лесообразующих пород Евразии дали возможность эти современные методические разработки реализовать на совершенно ином, более высоком уровне, а именно, приступить к моделированию аддитивной фитомассы на трансконтинентальном уровне.

В предыдущем выпуске журнала «Эко-потенциал» впервые на уникальных по объему базах фактических данных о фитомассе деревьев и древостоев на примере подрода *Pinus* L. разработаны трансевразийские аддитивные модели фитомассы сосны, и

тем самым решена совмещенная проблема аддитивности и всеобщности моделей (Усольцев и др., 2018). Модель фитомассы деревьев гармонизирована двояко: в ней устранена внутренняя противоречивость «фракционных» и общего уравнения, и кроме того, она учитывает региональные различия равновеликих деревьев как по величине общей, надземной и подземной фитомассы, так и по ее фракционной структуре. Аддитивная модель фитомассы древостоев гармонизирована по трем уровням, один из которых обеспечивает принцип аддитивности фракций фитомассы, второй связан с вводом «фиктивных» переменных, локализующих модель по экорегионам Евразии, и третий согласовывает структуру фитомассы сосновых культур и естественных сосняков посредством бинарной переменной. Модель показывает различия фитомассы древостоев не только по абсолютным ее значениям для стволов, хвои, ветвей и корней, но и по их соотношениям, т.е. по структуре фитомассы.

В настоящей статье предпринята первая попытка разработки аддитивных аллометрических моделей фитомассы деревьев и древостоев еще одной лесообразующей породы, произрастающей на всей территории Евразии - лиственницы (род *Larix* Mill.). Эти модели послужат основой для составления региональных трансевразийских нормативов для оценки фитомассы деревьев и древостоев.

### Объекты и методы

Из упомянутых баз данных взяты материалы в количестве 415 модельных деревьев шести викарирующих видов рода *Larix* Mill. (соответственно *L. decidua* Mill., *L. sukaczewii* N.Dyl., *L. sibirica* L., *L. gmelinii* Rupr., *L. cajanderi* Mayr., *L. leptolepis* Gord.), распределенных по восьми экорегионам и обозначенных соответственно восемью фиктивными переменными от  $X_0$  до  $X_7$  (табл. 1). Распределение пробных площадей, на которых взяты модельные деревья в экорегионах Евразии, показано на рис. 1.

Таблица 1

Схема кодирования фиктивными переменными региональных массивов фактических данных фитомассы 415 модельных деревьев лиственниц

Регион*	Вид <i>Larix</i> Mill.	Блок фиктивных переменных							Диапазон диаметров дерева, см	Диапазон высот дерева, м	Число наблюдений
		$X_1$	$X_2$	$X_3$	$X_4$	$X_5$	$X_6$	$X_7$			
ЗСЕ	<i>L. decidua</i> Mill.	0	0	0	0	0	0	0	7,1÷47,8	9,8÷34,0	14
ЕР	<i>L. sukaczewii</i> N.Dyl.	1	0	0	0	0	0	0	1,0÷35,0	2,3÷28,0	25
Тст	<i>L. sukaczewii</i> N.Dyl.	0	1	0	0	0	0	0	6,2÷28,0	7,9÷17,8	28
ЗСс	<i>L. sibirica</i> L. <i>L. gmelinii</i> Rupr.	0	0	1	0	0	0	0	2,1÷38,0	2,9÷24,8	116
ВСс	<i>L. cajanderi</i> Mayr.	0	0	0	1	0	0	0	0,3÷22,7	1,4÷14,8	66
ДВс	<i>L. cajanderi</i> Mayr.	0	0	0	0	1	0	0	3,9÷52,8	2,9÷30,0	43
Кит	<i>L. sibirica</i> L. <i>L. gmelinii</i> Rupr.	0	0	0	0	0	1	0	0,5÷31,0	1,5÷24,3	50
Яп	<i>L. leptolepis</i> Gord.	0	0	0	0	0	0	1	4,0÷35,9	4,3÷26,7	73

\* Обозначения регионов здесь и далее: ЗСЕ – Западная и Средняя Европа, широколиственные леса; ЕР – Европейская часть России, центральная часть; Тст – Тургайская степь; ЗСс – Западная Сибирь, северная тайга; ВСс – Восточная Сибирь, северная тайга; ДВс – Дальний Восток, северная тайга; Кит – Северо-Восточный Китай; Яп – Японские острова.

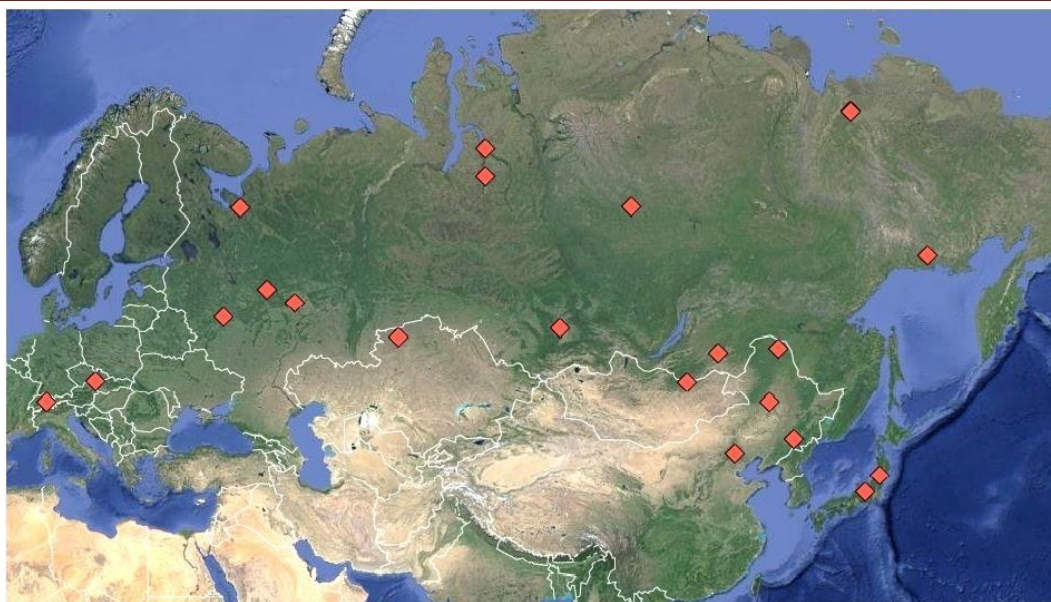


Рис. 1. Распределение пробных площадей, на которых выполнены измерения фитомассы деревьев лиственницы на территории Евразии.

Вторая база данных, использованная в наших расчетах, содержит 384 пробных площади с определениями фитомассы древостоев лиственницы (т/га). Род *Larix* Mill. представлен восемью видами (соответственно *L. decidua* Mill., *L. sukaczewii* N.Dyl., *L. sibirica* L., *L. gmelinii* Rupr., *L. cajanderi* Mayr., *L. olgensis* A.Henry, *L. Principis-Rupprechtii* Mayr, *L. leptolepis* Gord.), распределенными по двенадцати экорегионам и обозначенными соответственно двенадцатью фиктивными переменными от  $X_0$  до  $X_{11}$  (табл. 2). Распределение пробных площадей, на которых определена фитомасса лиственничных древостоев в экорегионах Евразии, показано на рис. 2.

Таблица 2

Схема кодирования региональных массивов фактических данных фитомассы 384 древостоев лиственницы

Регион*	Вид <i>Larix</i> Mill.	Блок фиктивных переменных											Диапазоны:				Число наблюдений
		$X_1$	$X_2$	$X_3$	$X_4$	$X_5$	$X_6$	$X_7$	$X_8$	$X_9$	$X_{10}$	$X_{11}$	возраста, лет	густоты, тыс. экз/га	среднего диаметра, см	средней высоты, м	
ЗСЕ	<i>L. decidua</i> Mill.	0	0	0	0	0	0	0	0	0	0	0	13÷210	0,19÷2,68	10,2÷72,9	4,2÷34,0	13
ЕР	<i>L. sukaczewii</i> N.Dyl.	1	0	0	0	0	0	0	0	0	0	0	10÷240	0,27÷122,5	1,9÷51,6	3,6÷40,0	58
Тст	<i>L. sukaczewii</i> N.Dyl.	0	1	0	0	0	0	0	0	0	0	0	12÷55	0,81÷6,27	5,2÷22,0	4,8÷21,1	13
ЗСс	<i>L. sibirica</i> L.	0	0	1	0	0	0	0	0	0	0	0	25÷350	0,46÷10,7	3,5÷32,0	2,8÷31,5	19
ССс	<i>L. gmelinii</i> Rupr.	0	0	0	1	0	0	0	0	0	0	0	30÷380	0,12÷5,70	3,2÷36,0	2,5÷34,0	50
ССюг	<i>L. sibirica</i> L.	0	0	0	0	1	0	0	0	0	0	0	10÷200	0,36÷7,19	6,0÷30,0	8,9÷24,0	17
ЗБ	<i>L. gmelinii</i> Rupr.	0	0	0	0	0	1	0	0	0	0	0	40÷190	0,11÷4,73	4,0÷28,4	4,0÷25,0	41
ВС	<i>L. cajanderi</i> Mayr.	0	0	0	0	0	0	1	0	0	0	0	22÷380	0,24÷50,8	3,0÷29,0	5,4÷24,0	53
ДВс	<i>L. cajanderi</i> Mayr.	0	0	0	0	0	0	0	1	0	0	0	15÷250	0,20÷52,2	1,1÷54,0	4,0÷26,0	30
ДВюг	<i>L. olgensis</i> A.Henry	0	0	0	0	0	0	0	0	1	0	0	30÷160	0,37÷12,6	9,7÷29,4	12,0÷28,2	12
Кит	<i>L. gmelinii</i> Rupr. <i>L. Principis-Rupprechtii</i>	0	0	0	0	0	0	0	0	0	1	0	21÷186	0,21÷9,30	4,7÷37,6	5,9÷30,0	33
Яп	<i>L. leptolepis</i> Gord.	0	0	0	0	0	0	0	0	0	1	0	9÷53	0,37÷6,74	6,2÷28,6	5,4÷23,6	45

\*ЗСЕ – Западная и Средняя Европа, широколиственные леса; ЕР – Европейская часть России; Тст – Тургайская степь; ЗСс – Западная Сибирь, северная тайга; ССс – Средняя Сибирь, северная часть; ССюг – Средняя Сибирь, южная часть; ЗБ – Забайкалье; ВС - Восточная Сибирь, северная тайга; ДВс – Дальний Восток, северная тайга; ДВюг – Приморье; Кит – Северо-Восточный Китай; Яп – Японские острова.



Рис. 2. Распределение пробных площадей с измерениями фитомассы (т/га) 384 насаждений лиственницы (род *Larix* Mill.) на территории Евразии.

Согласно структуре «дисагрегированной» (расчленяемой) (disaggregation model) трехшаговой аддитивной системы моделей (Tang et al., 2000; Dong et al., 2015), общая фитомасса, оцененная по исходному уравнению, расчленяется на фракции согласно схеме, представленной на рис. 3. Коэффициенты регрессионных моделей всех трех шагов оцениваются одновременно, что обеспечивает аддитивность фитомассы всех фракций - общей, промежуточных и исходных (Dong et al., 2015).

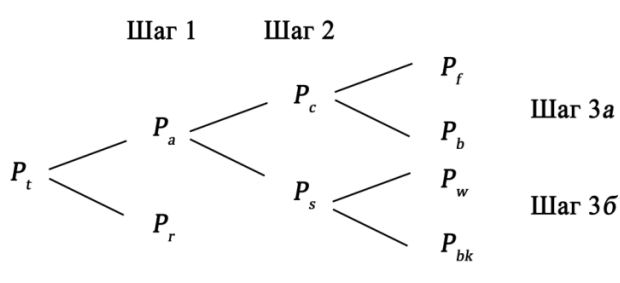


Рис. 3. Блок-схема «дисагрегированной» (расчленяемой) трехшаговой аддитивной модели фитомассы дерева. Обозначения:  $P_t$ ,  $P_r$ ,  $P_a$ ,  $P_c$ ,  $P_s$ ,  $P_f$ ,  $P_b$ ,  $P_w$  и  $P_{bk}$  – соответственно фитомасса дерева: общая, подземная (корней), надземная, кроны (хвои и ветвей), ствола (древесины и коры), хвои, ветвей, древесины ствола и коры ствола, кг.

## Результаты и обсуждение

### 1 Аддитивная модель фитомассы на уровне деревьев

Рассчитаны исходные аллометрические модели

$$\ln P_i = a_i + b_i (\ln D) + c_i (\ln H) + d_i (\ln D)(\ln H) + \sum g_{ij} X_j, \quad (1)$$

где  $P_i$  – фитомасса  $i$ -й фракции, кг;  $D$  – диаметр ствола на высоте груди, см;  $H$  – высота дерева, м;  $i$  – индекс фракций фитомассы: общий ( $t$ ), надземный ( $a$ ), корней ( $r$ ), кроны ( $c$ ), ствола в коре ( $s$ ), хвои ( $f$ ), ветвей ( $b$ ), древесины ствола ( $w$ ) и коры ствола ( $bk$ );  $j$  – индекс (код) фиктивной переменной, от 0 до 7 (см. табл. 1).  $\sum g_{ij} X_j$  – блок фиктивных переменных для  $i$ -й фракции фитомассы  $j$ -го экорегиона. Модель (1) после потенцирования имеет вид

$$P_i = e^{ai} D^{bi} H^{ci} D^{di(\ln H)} e^{\sum g_{ij} X_j}. \quad (2)$$

Обоснование структуры регрессионной модели (1) было выполнено ранее (Усольцев и др., 2017). Поскольку расчет регрессионных коэффициентов в модели (1) выполнен по преобразованным данным, для устранения смещений, вызванных логарифмированием переменных, в уравнения введена поправка, предложенная Г.Л. Баскервилем (Baskerville, 1972).

По программе многофакторного регрессионного анализа Statgraphics выполнен расчет коэффициентов уравнений (1) и получена их характеристика, которая после введения поправок на логарифмическое преобразование по Г.Л. Баскервилю и приведения ее к виду (2) дана в **табл. 3**. Все регрессионные коэффициенты уравнений (2) при численных переменных значимы на уровне вероятности  $P_{0.95}$  и выше, и уравнения адекватны исходным данным.

Путем подстановки регрессионных коэффициентов независимых уравнений из табл. 3 в структуру аддитивной модели, представленную в **табл. 4**, по трехшаговой схеме пропорционального взвешивания получили трансконтинентальную аддитивную модель фракционного состава фитомассы деревьев лиственницы с двойной гармонизацией, окончательный вид которой дан в **табл. 5**.

Модель действительна в диапазоне фактических данных высоты и диаметра ствола модельных деревьев, приведенных в табл. 1. Путем табулирования полученной модели (табл. 5) по задаваемым значениям  $D$  и  $H$  и по значениям фиктивных переменных, локализующих общую модель по экорегионам, можно получить в итоге региональные нормативы, аддитивные по фракциям фитомассы и предназначенные для ее оценки в лиственничниках Евразии.

Иногда бывает невозможно замерить высоты деревьев на пробных площадях, и для подобных случаев при расчетах фитомассы на единице площади древостоя с применением предложенной модели (2) рассчитано вспомогательное уравнение

$$H = 2,387 D^{0,7114} e^{0,1649/D} e^{-0,1886X_1} e^{-0,1254X_2} e^{-0,1644X_3} e^{-0,4100X_4} e^{-0,2704X_5} e^{-0,2219X_6} e^{-0,2346X_7}; \quad (3)$$

$$adjR^2 = 0,918.$$

Переменная  $(I/D)$  введена в структуру модели (3) для коррекции аллометрии, нарушенной у мелких деревьев вследствие сдвига диаметра  $D$  в верхнюю часть кроны. Выполнено табулирование построенных аддитивных моделей в формате Excel. Поскольку объем таблиц превышает формат журнальной статьи, ограничимся анализом некоторых региональных особенностей структуры фитомассы равновеликих деревьев лиственницы по соответствующему фрагменту итоговых таблиц (**табл. 6**).

При их анализе можно видеть, что наибольшие значения общей фитомассы равновеликих деревьев имеют место в западной (82 кг) и восточной (74-98 кг) частях ареала, находящихся под влиянием влажного климата соответственно Атлантического и Тихоокеанского океанов. По мере удаления от Атлантического побережья на восток, на территории европейской России и в Тургайском прогибе общая фитомасса дерева снижается до 55-62 кг. Но в подзоне северной тайги Сибири общая фитомасса дерева возрастает до 82-110 кг вследствие низкой густоты стояния деревьев на многолетней мерзлоте. Примерно те же закономерности изменения по экорегионам присущи и надземной фитомассе.

Таблица 3

Характеристика независимых аллометрических уравнений деревьев лиственницы

Фрак- ция фито- массы	Компоненты регрессионных моделей												$adjR^2*$
	$P_I$	$0,2342$	$D^{1,5672}$	$H^{0,4054}$	$D^{0,0931(\ln H)}$	$e^{-0,3963 X7}$	$e^{-0,2728 X2}$	$e^{0,0016 X3}$	$e^{0,1681 X4}$	$e^{0,3002 X5}$	$e^{0,1786 X6}$	$e^{-0,1001 X7}$	
$P_a$	$0,1832$	$D^{1,4212}$	$H^{0,3134}$	$D^{0,1841(\ln H)}$	$e^{-0,1885 X7}$	$e^{-0,1639 X3}$	$e^{0,1857 X4}$	$e^{-0,0631 X5}$	$e^{-0,0947 X6}$	$e^{1,1750 X6}$	$e^{-0,1221 X7}$	$0,991$	
$P_r$	$0,0383$	$D^{1,9268}$	$H^{0,1825}$	$D^{0,0308(\ln H)}$	$e^{-0,6254 X1}$	$e^{0,0191 X2}$	$e^{-0,3614 X3}$	$e^{0,4929 X4}$	$e^{1,2546 X5}$	$e^{1,1750 X6}$	$e^{0,2900 X7}$	$0,954$	
Шаг 1													
$P_c$	$0,5341$	$D^{2,2312}$	$H^{-1,7550}$	$D^{0,2494(\ln H)}$	$e^{-0,1750 X7}$	$e^{-0,5668 X3}$	$e^{-0,3290 X4}$	$e^{-0,2613 X5}$	$e^{-0,3483 X6}$	$e^{-0,1243 X7}$	$0,904$		
$P_s$	$0,0804$	$D^{1,3238}$	$H^{0,6898}$	$D^{0,1700(\ln H)}$	$e^{-0,2019 X1}$	$e^{-0,0271 X2}$	$e^{-0,0833 X3}$	$e^{0,2779 X4}$	$e^{-0,0286 X5}$	$e^{-0,0654 X6}$	$e^{-0,1733 X7}$	$0,992$	
Шаг 2													
$P_f$	$0,1032$	$D^{2,0986}$	$H^{-1,5553}$	$D^{0,1874(\ln H)}$	$e^{0,3966 X7}$	$e^{0,1988 X2}$	$e^{-0,1623 X3}$	$e^{0,0686 X4}$	$e^{-0,0193 X5}$	$e^{0,0847 X6}$	$e^{0,3110 X7}$	$0,855$	
$P_b$	$0,3662$	$D^{2,3314}$	$H^{-1,7586}$	$D^{0,2438(\ln H)}$	$e^{-0,3327 X1}$	$e^{-0,4231 X2}$	$e^{-0,6662 X3}$	$e^{-0,3923 X4}$	$e^{-0,3125 X5}$	$e^{-0,4403 X6}$	$e^{-0,2260 X7}$	$0,908$	
Шаг 3а													
$P_w$	$0,0487$	$D^{1,3125}$	$H^{0,7886}$	$D^{0,1730(\ln H)}$	$e^{-0,1860 X7}$	$e^{0,0454 X2}$	$e^{-0,0218 X3}$	$e^{0,3077 X4}$	$e^{0,0332 X5}$	$e^{-0,0282 X6}$	$e^{0,0050 X7}$	$0,993$	
$P_{bk}$	$0,0304$	$D^{1,3274}$	$H^{0,1312}$	$D^{0,2344(\ln H)}$	$e^{-0,2909 X1}$	$e^{0,1207 X2}$	$e^{0,1761 X3}$	$e^{0,6553 X4}$	$e^{-0,2840 X5}$	$e^{0,2626 X6}$	$e^{0,2783 X7}$	$0,978$	

\*  $adjR^2$  – коэффициент детерминации, скорректированный на число переменных.

Таблица 4

Структура трехшаговой аддитивной модели, реализуемой по принципу пропорционального взвешивания. Обозначения здесь и далее см. в уравнении (1)

Шаг 1	$P_r = \frac{1}{1 + \frac{a_a D^{b_a} H^{c_a} D^{d_a(\ln H)} e^{\sum g_{aj} X_j}}{a_r D^{b_r} H^{c_r} D^{d_r(\ln H)} e^{\sum g_{rj} X_j}}} \times P_t$
	$P_a = \frac{1}{1 + \frac{a_r D^{b_r} H^{c_r} D^{d_r(\ln H)} e^{\sum g_{rj} X_j}}{a_a D^{b_a} H^{c_a} D^{d_a(\ln H)} e^{\sum g_{aj} X_j}}} \times P_t$
Шаг 2	$P_c = \frac{1}{1 + \frac{a_s D^{b_s} H^{c_s} D^{d_s(\ln H)} e^{\sum g_{sj} X_j}}{a_c D^{b_c} H^{c_c} D^{d_c(\ln H)} e^{\sum g_{cj} X_j}}} \times P_a$
	$P_s = \frac{1}{1 + \frac{a_c D^{b_c} H^{c_c} D^{d_c(\ln H)} e^{\sum g_{cj} X_j}}{a_s D^{b_s} H^{c_s} D^{d_s(\ln H)} e^{\sum g_{sj} X_j}}} \times P_a$
Шаг 3a	$P_f = \frac{1}{1 + \frac{a_b D^{b_b} H^{c_b} D^{d_b(\ln H)} e^{\sum g_{bj} X_j}}{a_f D^{b_f} H^{c_f} D^{d_f(\ln H)} e^{\sum g_{fj} X_j}}} \times P_c$
	$P_b = \frac{1}{1 + \frac{a_f D^{b_f} H^{c_f} D^{d_f(\ln H)} e^{\sum g_{fj} X_j}}{a_b D^{b_b} H^{c_b} D^{d_b(\ln H)} e^{\sum g_{bj} X_j}}} \times P_c$
Шаг 3б	$P_w = \frac{1}{1 + \frac{a_{bk} D^{b_{bk}} H^{c_{bk}} D^{d_{bk}(\ln H)} e^{\sum g_{bkj} X_j}}{a_w D^{b_w} H^{c_w} D^{d_w(\ln H)} e^{\sum g_{wj} X_j}}} \times P_s$
	$P_{bk} = \frac{1}{1 + \frac{a_w D^{b_w} H^{c_w} D^{d_w(\ln H)} e^{\sum g_{wj} X_j}}{a_{bk} D^{b_{bk}} H^{c_{bk}} D^{d_{bk}(\ln H)} e^{\sum g_{bkj} X_j}}} \times P_s$

Поскольку было установлено (Cunia, Briggs, 1984; Reed, Green, 1985), что устранение внутренней противоречивости уравнений фитомассы путем обеспечения их аддитивности не обязательно означает повышение точности ее оценок, необходимо выяснить, достаточно ли адекватна полученная аддитивная модель и как ее характеристики соотносятся с показателями адекватности независимых уравнений?

С этой целью расчетные показатели фитомассы, полученные по независимым и аддитивным уравнениям, сопоставлены с фактическими значениями фитомассы путем расчета коэффициента детерминации  $R^2$  по формуле

$$R^2 = 1 - \frac{\sum_{i=1}^N (Y_i - \hat{Y}_i)^2}{\sum_{i=1}^N (Y_i - \bar{Y})^2}, \quad (4)$$

где  $Y_i$  - фактическое значение;  $\hat{Y}_i$  - расчётное значение по модели;  $\bar{Y}$  - среднее фактическое значение всех ( $N$ ) деревьев.

Таблица 5

Трехшаговая аддитивная модель фракционного состава фитомассы деревьев лиственницы, реализованная по принципу пропорционального взвешивания

$P_f = \frac{0,2342 D^{1,5672} H^{0,4054} D^{0,0931(\ln H)} e^{-0,3963X1} e^{-0,2728X2} e^{0,0016X3} e^{0,1681X4} e^{0,3002X5} e^{0,1786X6} e^{-0,1001X7}}{1+0,2093 D^{0,5056} H^{-0,1309} D^{-0,1532(\ln H)} e^{-0,4369X1} e^{0,0938X2} e^{-0,1975X3} e^{0,3072X4} e^{1,3177X5} e^{1,2697X6} e^{0,4121X7}}$	$\times P_t$
$P_r = \frac{1}{1+4,7775 D^{-0,5056} H^{0,1309} D^{0,1532(\ln H)} e^{0,4369X1} e^{-0,0938X2} e^{0,1975X3} e^{-0,3072X4} e^{-1,3177X5} e^{-1,2697X6} e^{-0,4121X7}}$	$\times P_t$
$P_c = \frac{1}{1+0,1505 D^{-0,9074} H^{2,4448} D^{-0,0794(\ln H)} e^{-0,0269X1} e^{0,2760X2} e^{0,4836X3} e^{0,6069X4} e^{0,2327X5} e^{0,2829X6} e^{-0,0489X7}}$	$\times Pa$
$P_s = \frac{1}{1+6,6460 D^{0,9074} H^{-2,4448} D^{0,0794(\ln H)} e^{0,0269X1} e^{-0,2760X2} e^{-0,4836X3} e^{-0,6069X4} e^{-0,2327X5} e^{-0,2829X6} e^{0,0489X7}}$	$\times Pa$
$P_f = \frac{1}{1+3,5479 D^{0,2328} H^{-0,2033} D^{0,0565(\ln H)} e^{-0,7293X1} e^{-0,5040X3} e^{-0,4609X4} e^{-0,2932X5} e^{-0,5250X6} e^{-0,5370X7}}$	$\times P_c$
$P_b = \frac{1}{1+0,2819 D^{-0,2328} H^{0,2033} D^{-0,0565(\ln H)} e^{0,7293X1} e^{0,6199X2} e^{0,4609X4} e^{0,2932X5} e^{0,5250X6} e^{0,5370X7}}$	$\times P_c$
$P_w = \frac{1}{1+0,6248 D^{0,0150} H^{-0,6574} D^{0,0614(\ln H)} e^{-0,1049X1} e^{0,0753X2} e^{0,1978X3} e^{0,3476X4} e^{-0,3172X5} e^{0,2908X6} e^{0,2733X7}}$	$\times Ps$
$P_{bk} = \frac{1}{1+1,6005 D^{-0,0150} H^{0,6574} D^{-0,0614(\ln H)} e^{0,1049X1} e^{-0,0753X2} e^{-0,1978X3} e^{-0,3476X4} e^{0,3172X5} e^{-0,2908X6} e^{-0,2733X7}}$	$\times Ps$

Фрагменты аддитивной таблицы фитомассы для деревьев диаметром 14 см и высотой 14 м по экорегионам и соответствующим видам рода *Larix*

Фракции фитомассы	Экорегион и соответствующий вид рода <i>Larix</i>					
	ЗСЕ <i>L. decidua</i>	EP <i>L. sukaczewii</i>	Тср <i>L. sukaczewii</i>	ЗСс <i>L. sibirica</i>	ВСс <i>L. cajanderi</i>	ДВс <i>L. cajanderi</i>
Общая фитомасса	81,65	54,93	62,15	81,78	96,59	110,24
Корни	13,24	6,10	10,90	11,21	20,12	46,25
Надземная	68,41	48,83	51,26	70,57	76,47	63,99
Крона	11,39	8,32	6,75	7,74	7,51	8,75
Хвоя	1,70	2,22	1,66	1,75	1,64	1,67
Ветви	9,69	6,09	5,08	5,99	5,87	7,08
Ствол в коре	57,02	40,51	44,51	62,83	68,96	55,24
Древесина ствола	48,49	34,98	37,42	51,74	55,22	48,97
Кора ствола	8,52	5,54	7,09	11,09	13,74	6,27
						9,56
						8,87

Таблица 7

Характеристика «приведённых» независимых аллометрических уравнений деревьев лиственницы

Фракция фитомассы	Компоненты регрессионных моделей					
	P <sub>t</sub>	P <sub>a</sub>	P <sub>r</sub>	P <sub>c</sub>	P <sub>s</sub>	P <sub>f</sub>
P <sub>t</sub>	0,2342	D <sup>1,5672</sup>	H <sup>0,4054</sup>	D <sup>0,0931(lnH)</sup>	e <sup>-0,3963X7</sup>	e <sup>-0,2728X2</sup>
P <sub>a</sub>	0,1586	D <sup>1,5126</sup>	H <sup>0,4540</sup>	D <sup>0,1251(lnH)</sup>	e <sup>-0,2248X7</sup>	e <sup>-0,2433X2</sup>
P <sub>r</sub>	0,0469	D <sup>1,9950</sup>	H <sup>-0,0153</sup>	D <sup>0,0517(lnH)</sup>	e <sup>-0,6577X1</sup>	e <sup>0,0169X2</sup>
P <sub>c</sub>	0,1568	D <sup>2,2573</sup>	H <sup>-1,1987</sup>	D <sup>0,2028(lnH)</sup>	e <sup>0,0476X7</sup>	e <sup>-0,3003X2</sup>
P <sub>s</sub>	0,0729	D <sup>1,4184</sup>	H <sup>0,8823</sup>	D <sup>0,0846(lnH)</sup>	e <sup>-0,2805X7</sup>	e <sup>-0,1982X2</sup>
P <sub>f</sub>	0,0215	D <sup>2,0846</sup>	H <sup>-0,8148</sup>	D <sup>0,1199(lnH)</sup>	e <sup>0,8348X7</sup>	e <sup>0,5336X2</sup>
P <sub>b</sub>	0,1168	D <sup>2,3484</sup>	H <sup>-1,2307</sup>	D <sup>0,2026(lnH)</sup>	e <sup>-0,1894X7</sup>	e <sup>-0,5605X2</sup>
P <sub>w</sub>	0,0487	D <sup>1,3125</sup>	H <sup>0,7886</sup>	D <sup>0,1730(lnH)</sup>	e <sup>-0,1860X7</sup>	e <sup>0,0454X2</sup>
P <sub>bk</sub>	0,0304	D <sup>1,3274</sup>	H <sup>0,1312</sup>	D <sup>0,2344(lnH)</sup>	e <sup>-0,2909X7</sup>	e <sup>0,1207X2</sup>

Таблица 7

Для корректного сравнения адекватности независимых и аддитивных уравнений исходные данные приводим в сопоставимое состояние, т.е. независимые уравнения для всех фракций фитомассы рассчитываются по тем же данным, что и аддитивные уравнения для общей фитомассы. Характеристика таких «приведённых» уравнений дана в **табл. 7**. Результаты сопоставления (**табл. 8**) свидетельствуют о том, что аддитивные уравнения не только внутренне непротиворечивы, но и для большей части фракций обладают лучшими показателями адекватности по сравнению с независимыми уравнениями.

Таблица 8

Сравнение показателей адекватности независимых и аддитивных уравнений фитомассы деревьев лиственницы

Показатель	Фракции фитомассы								
	<i>Pt</i>	<i>Pa</i>	<i>Pr</i>	<i>Ps</i>	<i>Pw</i>	<i>Pbk</i>	<i>Pc</i>	<i>Pb</i>	<i>Pf</i>
Независимые уравнения									
<i>R</i> <sup>2</sup>	0,975	0,973	<b>0,852</b>	<b>0,928</b>	<b>0,921</b>	0,956	<b>0,613</b>	<b>0,585</b>	<b>0,624</b>
Аддитивные уравнения									
<i>R</i> <sup>2</sup>	0,975	0,967	<b>0,891</b>	<b>0,985</b>	<b>0,965</b>	0,907	<b>0,749</b>	<b>0,737</b>	<b>0,721</b>

\* Обозначения см. рис. 3 и уравнение (1). Жирным шрифтом выделены фракции, для которых значения *R*<sup>2</sup> по аддитивным моделям выше, чем по независимым.

Соотношение фактических значений и значений, полученных расчётом по независимым и аддитивным моделям фитомассы деревьев (**рис. 4**), показывает степень коррелированности названных показателей и во многих случаях отсутствие видимых различий в структуре остаточных дисперсий, полученных по двум названным моделям. Большая или меньшая величина *R*<sup>2</sup> той или иной модели определяется случайным положением фактических значений фитомассы наиболее крупных деревьев в доверительном диапазоне и неравномерной дисперсией, именно случайным из-за их малого числа и наибольшего вклада в остаточную дисперсию.

## 2. Аддитивная модель фитомассы на уровне древостояев

Рассчитаны исходные аллометрические модели

$$\ln P_i = a_i + b_i (\ln A) + c_i (\ln A)^2 + d_i (\ln H) + e_i (\ln D) + f_i (\ln N) + \sum g_{ij} X_j, \quad (5)$$

где *P<sub>i</sub>* – масса *i*-й фракции, т/га; *A* – возраст древостоя, лет; *H* – средняя высота древостоя, м; *D* – средний диаметр стволов, см; *N* – густота древостоя, тыс. экз/га; *a-g* – регрессионные коэффициенты; *i* – индекс фракций фитомассы: общей (*t*), надземной (*a*), корней (*r*), кроны (*c*), ствола в коре (*s*), хвои (*f*), ветвей (*b*), древесины ствола (*w*) и коры ствola (*bk*); *j* - индекс (код) в блоке фиктивных переменных, кодирующих экорегионы, от 0 до 11 (см. **табл. 2**).

Модель (5) после потенцирования приведена к виду

$$P_i = a_i A^{bi} A^{ci(\ln A)} H^{di} D^{ei} N^{fi} e^{\sum g_{ij} X_j} \quad (6)$$

Характеристика уравнений (5), полученная их аппроксимацией по фактическим данным фитомассы, после введения поправок на логарифмическое преобразование по Г. Л. Баскервилю (Baskerville, 1972) и последующего потенцирования согласно (6) приведена в **табл. 9**. Все регрессионные коэффициенты уравнений (6) при численных переменных значимы на уровне вероятности *P*<sub>0.95</sub> и выше, и уравнения адекватны исходным данным.

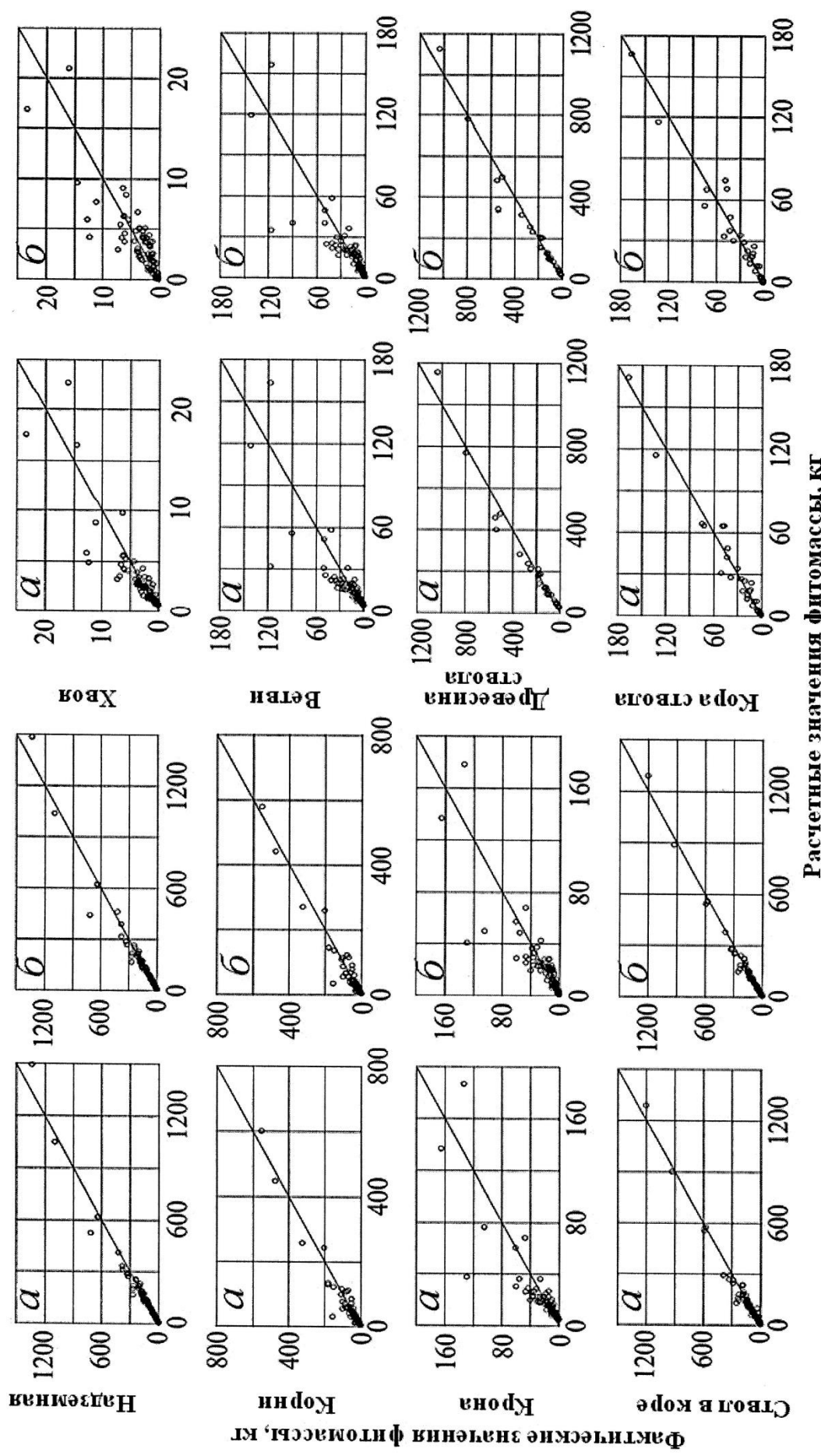


Рис. 4. Соотношение фактических значений и значений, полученных расчетом по независимым (а) и аддитивным (б) моделям фитомассы деревьев лиственницы.

Полученные уравнения (6) модифицированы согласно выше изложенному алгоритму (см. табл. 4), и окончательный вид трансконтинентальной аддитивной модели фракционного состава фитомассы лиственничных древостоев приведен в **табл. 10**. Модель действительна в диапазоне фактических данных возраста древостоев, средней высоты, среднего диаметра ствола и густоты древостоев, приведенных в табл. 2, и характеризуется двойной гармонизацией: одна из которых обеспечивает принцип аддитивности фракций фитомассы, а вторая связана с вводом фиктивных переменных, локализующих модель по экорегионам Евразии.

На следующем этапе исследования выполнено сопоставление адекватности построенной аддитивной модели (см. **табл. 10**) и независимых уравнений, показанных в **табл. 9**. Для корректного сопоставления из исходного массива данных удалены пробные площади с неполной фракционной структурой, т.е. оставлены лишь те записи, в которых имеются в наличии данные как по надземной, так и по подземной фитомассе. По модифицированному таким способом массиву исходных данных аппроксимированы уравнения (6), и их окончательный вид дан в **табл. 11**. Как аддитивная модель, так и независимые уравнения, протабулированы по фактическим массообразующим показателям массива фактических данных, и полученные расчетные значения фитомассы сопоставлены с фактическими по показателю  $R^2$ , формула (4). Результаты сопоставления адекватности двух методов моделирования сведены в **табл. 12** и свидетельствуют о том, что показатели адекватности двух систем уравнений близки между собой. Соотношение фактических значений и значений, полученных расчётом по независимым и аддитивным моделям фитомассы древостоев (**рис. 5**), показывает степень коррелированности названных показателей и во многих случаях - отсутствие видимых различий в структуре остаточных дисперсий, полученных по двум названным моделям. Большая или меньшая величина  $R^2$  двух сравниваемых моделей определяется случайным положением фактических значений фитомассы наиболее продуктивных древостоев в доверительном диапазоне и неравномерной дисперсией, именно случайным из-за их малого числа и наибольшего вклада в остаточную дисперсию (см. **рис. 5**).

Построенная аддитивная модель (см. табл. 10) включает четыре численных независимых переменных. При табулировании ее возникает проблема, которая заключается в том, что мы можем задать из четырех переменных только возраст древостоя, а остальные три переменные могут быть введены в таблицу лишь в виде расчетных величин, полученных системой вспомогательных рекурсивных уравнений. Такие уравнения рассчитаны по исходному массиву фактических данных и показаны в **табл. 13**.

Результаты последовательного табулирования уравнений в **табл. 13** и **10** представляют довольно громоздкую таблицу, объем которой превышает формат журнальной статьи. Поэтому сравнительный анализ структуры фитомассы лиственничников разных экорегионов ограничим возрастом 100 лет (**табл. 14**). Согласно **табл. 14**, наибольшие значения фитомассы (210-450 т/га) соответствуют регионам, прилегающим к Атлантическому и Тихоокеанскому побережьям, а также регионам, расположенным на южном пределе ареала и наименьшие – северотаёжным регионам Сибири, где лиственничники произрастают на многолетней мерзлоте.

Показатели фитомассы разных экорегионов различаются не только по абсолютной величине, но и по соотношениям массы разных фракций; например доля хвои в надземной фитомассе максимальная (5,0-7,3 %) в северной тайге Средней Сибири и Дальнего Востока, в лиственничниках на многолетней мерзлоте и минимальная (1,4-1,9%) в лиственничниках максимальной продуктивности с общим запасом фитомассы (210-450 т/га).

Таблица 9

Характеристика независимых аллометрических уравнений (6) для древостоев лиственницы

Компоненты регрессионных моделей															$adjR^2$			
Факторы	$P_i$	$8$	$A^{-0,0045}$	$H^{0,4126}$	$D^{1,9276}$	$N^{0,8816}$	$e^{0,5449 X_1}$	$e^{0,4893 X_2}$	$e^{0,3044 X_3}$	$e^{0,3895 X_4}$	$e^{0,5867 X_5}$	$e^{0,6192 X_6}$	$e^{0,4966 X_7}$	$e^{0,5633 X_8}$	$e^{0,4223 X_9}$	$e^{0,3616 X_{10}}$	$e^{0,2468 X_{11}}$	$0,929$
Шаг 1																		
$P_a$	0,1403	$A^{-0,0615}$	$H^{0,5003}$	$D^{1,8952}$	$N^{0,8307}$	$e^{0,2220 X_1}$	$e^{0,1519 X_2}$	$e^{0,0258 X_3}$	$e^{0,3038 X_4}$	$e^{0,5183 X_5}$	$e^{0,2958 X_6}$	$e^{0,2559 X_7}$	$e^{0,2578 X_8}$	$e^{-0,1512 X_9}$	$e^{0,3399 X_{10}}$	$e^{0,3399 X_{11}}$	$0,937$	
$P_r$	0,0391	$A^{0,1389}$	$H^{0,4954}$	$D^{1,4246}$	$N^{0,7492}$	$e^{0,5892 X_1}$	$e^{0,2388 X_2}$	$e^{0,1678 X_3}$	$e^{0,7926 X_4}$	$e^{0,6324 X_5}$	$e^{0,8049 X_6}$	$e^{0,3876 X_7}$	$e^{0,9782 X_8}$	$e^{0,2912 X_9}$	$e^{0,4791 X_{10}}$	$e^{0,5403 X_{11}}$	$0,765$	
Шаг 2																		
$P_c$	0,3620	$A^{-0,3316}$	$H^{-0,0678}$	$D^{1,9388}$	$N^{0,7538}$	$e^{-0,0961 X_1}$	$e^{-0,3647 X_2}$	$e^{-0,4123 X_3}$	$e^{0,0005 X_4}$	$e^{0,1177 X_5}$	$e^{0,0393 X_6}$	$e^{-0,2755 X_7}$	$e^{-0,0631 X_8}$	$e^{-0,3669 X_9}$	$e^{-0,33598}$	$e^{-0,4764 X_{11}}$	$0,833$	
$P_s$	0,0532	$A^{0,0234}$	$H^{0,7736}$	$D^{1,7536}$	$N^{0,8332}$	$e^{0,3015 X_1}$	$e^{0,3440 X_2}$	$e^{0,1616 X_3}$	$e^{0,1067 X_4}$	$e^{0,6391 X_5}$	$e^{0,3240 X_6}$	$e^{0,3843 X_7}$	$e^{-0,4261 X_8}$	$e^{-0,0708 X_9}$	$e^{0,1581 X_{10}}$	$e^{0,1073 X_{11}}$	$0,929$	
Шаг 3а																		
$P_f$	0,1317	$A^{-0,5524}$	$H^{-0,1686}$	$D^{2,0176}$	$N^{0,8425}$	$e^{0,3427 X_1}$	$e^{0,0103 X_2}$	$e^{-0,0706 X_3}$	$e^{0,6045 X_4}$	$e^{0,7496 X_5}$	$e^{0,6777 X_6}$	$e^{0,3760 X_7}$	$e^{0,6083 X_8}$	$e^{-0,2398 X_9}$	$e^{0,2200 X_{10}}$	$e^{-0,2458 X_{11}}$	$0,824$	
$P_b$	0,2323	$A^{-0,2655}$	$H^{-0,0383}$	$D^{1,9205}$	$N^{0,7200}$	$e^{-0,2118 X_1}$	$e^{-0,4288 X_2}$	$e^{-0,4760 X_3}$	$e^{-0,1666 X_4}$	$e^{-0,0145 X_5}$	$e^{-0,1403 X_6}$	$e^{-0,4521 X_7}$	$e^{-0,2590 X_8}$	$e^{-0,3827 X_9}$	$e^{-0,5037}$	$e^{-0,5138 X_{11}}$	$0,804$	
Шаг 3б																		
$P_w$	0,0432	$A^{-0,0843}$	$H^{1,0759}$	$D^{1,5216}$	$N^{0,7924}$	$e^{0,7106 X_1}$	$e^{0,6344 X_2}$	$e^{0,4098 X_3}$	$e^{0,4705 X_4}$	$e^{0,9685 X_5}$	$e^{0,9157 X_6}$	$e^{0,6740 X_7}$	$e^{0,6655 X_8}$	$e^{-0,0387 X_9}$	$e^{0,5357 X_{10}}$	$e^{0,3935 X_{11}}$	$0,913$	
$P_{bk}$	0,0217	$A^{-0,0595}$	$H^{0,8140}$	$D^{1,3568}$	$N^{0,8048}$	$e^{0,3719 X_1}$	$e^{0,5881 X_2}$	$e^{0,7681 X_3}$	$e^{0,5371 X_4}$	$e^{1,0496 X_5}$	$e^{1,1993 X_6}$	$e^{0,8018 X_7}$	$e^{0,2922 X_8}$	$e^{-0,4063 X_9}$	$e^{0,3324 X_{10}}$	$e^{0,2078 X_{11}}$	$0,865$	

\*  $adjR^2$  – коэффициент детерминации, скорректированный на число переменных.

**Таблица 10**  
**Трехшаговая аддитивная модель фракционного состава фитомассы древостоев лиственницы, реализованная по принципу пропорционального взвешивания**

$Pt = 0,1178 A^{-0,0045} H^{0,4126} D^{1,9276} N^{0,8816} e^{0,5449 X_1} e^{0,4893 X_2} e^{0,3044 X_3} e^{0,3895 X_4} e^{0,5867 X_5} e^{0,6192 X_6} e^{0,4966 X_7} e^{0,5633 X_8} e^{0,4223 X_9} e^{0,3616 X_{10}} e^{0,2466 X_{11}}$	1	$\times Pt$
$Pt = \frac{1+0,2791 A^{0,2004} H^{-0,0050} D^{-0,4706} N^{-0,0815} e^{0,3666 X_2} e^{0,1420 X_3} e^{0,7618 X_4} e^{0,1140 X_5} e^{0,5090 X_6} e^{0,1317 X_7} e^{1,2360 X_8} e^{0,4424 X_9} e^{0,4392 X_{10}} e^{0,5860 X_{11}}}{1+3,5833 A^{-0,2004} H^{0,0050} D^{0,4706} N^{0,0815} e^{-0,3672 X_1} e^{-0,1366 X_2} e^{-0,1420 X_3} e^{-0,7618 X_4} e^{-0,1140 X_5} e^{-0,5090 X_6} e^{-0,1317 X_7} e^{-0,4424 X_9} e^{-0,4392 X_{10}} e^{-0,5860 X_{11}}}$	1	$\times Pt$
$Pt = \frac{P_C = \frac{1+0,1470 A^{0,3551} H^{0,8414} D^{-0,1853} N^{0,0794} e^{0,3975 X_1} e^{0,7087 X_2} e^{0,5740 X_3} e^{0,1063 X_4} e^{0,5214 X_5} e^{0,2847 X_6} e^{0,6598 X_7} e^{0,3629 X_8} e^{0,2901 X_9} e^{0,5179 X_{10}} e^{0,5836 X_{11}}}{1+6,8026 A^{-0,3551} H^{-0,8414} D^{0,1853} N^{-0,0794} e^{-0,3975 X_1} e^{-0,7087 X_2} e^{-0,5740 X_3} e^{-0,1063 X_4} e^{-0,5214 X_5} e^{-0,2847 X_6} e^{-0,6598 X_7} e^{-0,3629 X_8} e^{-0,2901 X_9} e^{-0,5179 X_{10}} e^{-0,5836 X_{11}}}}}{1+1,7637 A^{0,2869} H^{0,1303} D^{-0,0971} N^{-0,1225} e^{-0,5545 X_1} e^{-0,4390 X_2} e^{-0,4054 X_3} e^{-0,7711 X_4} e^{-0,7641 X_5} e^{-0,8180 X_6} e^{-0,8281 X_7} e^{-0,8673 X_8} e^{-0,1429 X_9} e^{-0,7237 X_{10}} e^{-0,2681 X_{11}}}$	1	$\times P_C$
$Pt = \frac{P_b = \frac{1+0,5670 A^{-0,2869} H^{-0,1303} D^{0,0971} N^{0,1225} e^{0,5545 X_1} e^{0,4390 X_2} e^{0,4054 X_3} e^{0,7711 X_4} e^{0,7641 X_5} e^{0,8180 X_6} e^{0,8281 X_7} e^{0,8673 X_8} e^{0,1429 X_9} e^{0,7237 X_{10}} e^{0,2681 X_{11}}}{1+0,5022 A^{0,0249} H^{-0,2619} D^{-0,1648} N^{0,0124} e^{-0,3387 X_1} e^{0,1337 X_2} e^{0,1388 X_3} e^{0,0666 X_4} e^{0,0811 X_5} e^{0,2836 X_6} e^{0,1277 X_7} e^{-0,3733 X_8} e^{-0,3696 X_9} e^{-0,2033 X_{10}} e^{-0,1857 X_{11}}}}}{1+1,9911 A^{-0,0249} H^{0,2619} D^{0,1648} N^{-0,0124} e^{0,3387 X_1} e^{-0,1337 X_2} e^{-0,1388 X_3} e^{-0,0666 X_4} e^{-0,0811 X_5} e^{-0,2836 X_6} e^{-0,1277 X_7} e^{0,3733 X_8} e^{0,3696 X_9} e^{0,2033 X_{10}} e^{0,1857 X_{11}}}$	1	$\times Ps$

Таблица 11

Характеристика «приведённых» независимых аллометрических уравнений древостоев лиственницы

$\Phi_{parun}$	Факторы	Компоненты регрессионных моделей
$P_t$	0,1178	$A^{-0,0045} H^{0,4126} D^{1,9276} N^{0,98816} e^{0,5449 X_7} e^{0,4893 X_2} e^{0,3044 X_3} e^{0,3895 X_4} e^{0,5867 X_5} e^{0,6192 X_6} e^{0,4966 X_7} e^{0,5633 X_8} e^{0,4223 X_9} e^{0,3616 X_{10}} e^{0,2468 X_{11}}$
$P_a$	0,0757	$A^{-0,0492} H^{0,4335} D^{2,0332} N^{0,9117} e^{0,5466 X_1} e^{0,4213 X_2} e^{0,1716 X_4} e^{0,6023 X_5} e^{0,4402 X_6} e^{0,5745 X_7} e^{0,3411 X_8} e^{0,4569 X_9} e^{0,3528 X_{10}} e^{0,2034 X_{11}}$
$P_r$	0,0391	$A^{0,1389} H^{0,4954} D^{1,4246} N^{0,7492} e^{0,5892 X_1} e^{0,2886 X_2} e^{0,1678 X_3} e^{0,7926 X_4} e^{0,6324 X_5} e^{0,8049 X_6} e^{0,3876 X_7} e^{0,9782 X_8} e^{0,2912 X_9} e^{0,4791 X_{10}} e^{0,5403 X_{11}}$
$P_c$	0,1331	$A^{-0,2764} H^{-0,0875} D^{1,9877} N^{0,7660} e^{0,8054 X_1} e^{0,2260 X_2} e^{0,4462 X_3} e^{0,3673 X_4} e^{0,3624 X_5} e^{0,4652 X_6} e^{0,3334 X_7} e^{0,5287 X_8} e^{-0,0584 X_9} e^{0,3173 X_{10}} e^{0,1162 X_{11}}$
$P_s$	0,0392	$A^{-0,0104} H^{0,8086} D^{1,7957} N^{0,8930} e^{0,5083 X_1} e^{0,5503 X_2} e^{0,3955 X_3} e^{0,3852 X_4} e^{0,6948 X_5} e^{0,4551 X_6} e^{0,6744 X_7} e^{0,3366 X_8} e^{0,4773 X_9} e^{0,3873 X_{10}} e^{0,3094 X_{11}}$
$P_f$	0,0688	$A^{-0,4916} H^{-0,2355} D^{2,0358} N^{0,2355} e^{1,0055 X_1} e^{0,3484 X_2} e^{0,6702 X_3} e^{0,9501 X_4} e^{0,6501 X_5} e^{1,0035 X_6} e^{0,7977 X_7} e^{0,9110 X_8} e^{-0,3078 X_9} e^{0,7013 X_{10}} e^{0,1395 X_{11}}$
$P_b$	0,0719	$A^{-0,2033} H^{-0,0024} D^{1,9407} N^{0,7338} e^{0,7667 X_1} e^{0,2628 X_2} e^{0,4350 X_3} e^{0,2447 X_4} e^{0,3355 X_5} e^{0,3620 X_6} e^{0,2520 X_7} e^{0,4468 X_8} e^{-0,0486 X_9} e^{0,2370 X_{10}} e^{0,1645 X_{11}}$
$P_w$	0,0432	$A^{-0,0843} H^{1,0759} D^{1,5216} N^{0,7924} e^{0,7106 X_1} e^{0,6344 X_2} e^{0,4098 X_3} e^{0,4705 X_4} e^{0,9685 X_5} e^{0,9157 X_6} e^{0,6740 X_7} e^{0,6655 X_8} e^{-0,0387 X_9} e^{0,5357 X_{10}} e^{0,3935 X_{11}}$
$P_{hk}$	0,0217	$A^{-0,0595} H^{0,8140} D^{1,3568} N^{0,8048} e^{0,3719 X_1} e^{0,7681 X_2} e^{0,5487 X_3} e^{0,5371 X_4} e^{1,0496 X_5} e^{1,1993 X_6} e^{0,8018 X_7} e^{0,2922 X_8} e^{-0,4083 X_9} e^{0,3324 X_{10}} e^{0,2078 X_{11}}$

Таблица 13

Характеристика рекурсивной системы вспомогательных уравнений для массообразующих показателей

Массообразующие показатели	Компоненты регрессионных моделей	$adjR^2*$
$\ln H$	0,9617 0,4808 $\ln A$	-0,0342 $X_1$ -0,0294 $X_2$ -0,6824 $X_3$ -0,9383 $X_4$ -0,3890 $X_5$ -0,3641 $X_6$ -0,8561 $X_7$ -0,8834 $X_8$ 0,0088 $X_9$ -0,2439 $X_{10}$ -0,0957 $X_{11}$ 0,502
$\ln D$	-0,1481 0,2529 $\ln A$	0,8315 $\ln H$ -0,3687 $X_1$ -0,1247 $X_2$ -0,5305 $X_3$ -0,6245 $X_4$ -0,4684 $X_5$ -0,4754 $X_6$ -0,6799 $X_7$ -0,6115 $X_8$ -0,4697 $X_9$ -0,4823 $X_{10}$ -0,1420 $X_{11}$ 0,887
$\ln V$	3,8383 -0,3753 $\ln A$	1,2774 $\ln H$ -2,0894 $\ln D$ 0,4003 $X_1$ 0,5361 $X_2$ -0,0170 $X_3$ 0,0163 $X_4$ 0,2376 $X_5$ -0,3495 $X_6$ 0,1233 $X_7$ 0,1519 $X_8$ 0,5846 $X_9$ -0,1540 $X_{10}$ 0,0706 $X_{11}$ 0,691

Таблица 12

Сравнение показателей адекватности независимых и аддитивных уравнений фитомассы лиственничных древостоев, рассчитанных с их регионализацией путем введения фиктивных переменных

Показатели	Фракции фитомассы*								
	$P_t$	$P_a$	$P_r$	$P_s$	$P_w$	$P_{bk}$	$P_c$	$P_b$	$P_f$
Независимые уравнения									
$R^2$	0,950	0,958	0,768	0,958	0,959	0,677	0,793	0,808	0,672
Аддитивные уравнения									
$R^2$	0,950	0,952	0,770	0,955	0,957	0,664	0,685	0,671	0,599

\* Обозначения см. уравнение (5).

Таблица 14

Фрагменты аддитивной таблицы фитомассы древостоев лиственницы в возрасте 100 лет (т абсолютна сухой массы на 1 га) по экорегионам

Эко-регион	Вид	$H$ , м	$D$ , см	$N$ , тыс. экз/га	Фитомасса, т/га								
					$P_t$	$P_a$	$P_c$	$P_f$	$P_b$	$P_r$	$P_s$	$P_w$	$P_{bk}$
ЗСЕ	<i>L. decidua</i>	25,7	42,0	0,3	181,0	159,8	25,7	2,8	23,0	21,2	134,1	118,9	15,2
ЕР	<i>L. sukaczewii</i>	24,8	28,2	0,9	407,4	336,7	34,0	6,5	27,5	70,7	302,7	275,3	27,4
Тст	<i>L. sukaczewii</i>	24,9	36,2	0,6	447,0	387,7	31,5	5,4	26,1	59,3	356,2	309,1	47,1
ЗСс	<i>L. sibirica</i>	13,0	14,0	1,1	77,0	62,6	7,7	1,3	6,4	14,4	54,9	45,2	9,7
ССс	<i>L. gmelinii</i>	10,1	10,3	1,5	56,7	38,3	7,8	1,9	5,9	18,4	30,5	24,9	5,6
ССюг	<i>L. sibirica</i>	17,4	19,0	1,1	206,1	172,7	18,8	4,3	14,5	33,4	153,9	130,7	23,3
ЗБ	<i>L. gmelinii</i>	17,9	19,3	0,6	132,0	101,6	14,0	3,2	10,8	30,4	87,7	72,2	15,5
ВС	<i>L. cajanderi</i>	10,9	10,4	1,8	78,8	63,1	7,5	1,9	5,6	15,8	55,6	45,0	10,5
ДВс	<i>L. cajanderi</i>	10,6	10,9	1,6	83,2	47,7	13,4	3,5	9,9	35,5	34,3	30,0	4,3
ДВюг	<i>L. olgensis</i>	25,9	26,4	1,2	450,5	367,4	38,1	5,3	32,8	83,1	329,3	300,2	29,1
Кит	<i>L. gmelinii</i>	20,1	21,2	0,7	147,0	116,4	12,0	2,6	9,4	30,6	104,4	92,7	11,7
Яп	<i>L. leptolepis</i>	23,3	33,6	0,4	208,8	166,2	16,2	2,3	13,9	42,6	150,0	134,7	15,3

### Заключение

Таким образом, впервые на уникальных по объёму базам фактических данных о фитомассе деревьев и древостоев рода *Larix* разработаны трансевразийские аддитивные модели фитомассы лиственницы, и тем самым решена совмещенная проблема аддитивности и всеобщности моделей. Модель фитомассы деревьев гармонизирована двояко: в ней устранена внутренняя противоречивость «фракционных» и общего уравнения, и кроме того, она учитывает региональные (и соответственно, видовые) различия равновеликих деревьев как по величине общей, надземной и подземной фитомассы, так и по ее фракционной структуре.

Аддитивная модель фитомассы древостоев гармонизирована также по двум уровням, один из которых обеспечивает принцип аддитивности фракций фитомассы, а второй связан с вводом «фиктивных» переменных, локализующих модель по экорегионам Евразии. Полученная модель демонстрирует различия фитомассы древостоев не только по абсолютным ее значениям для стволов, хвои, ветвей и корней, но и по их соотношениям, т.е. по структуре фитомассы. Предложенные модели и соответствующие таблицы для оценки фитомассы деревьев и древостоев лиственницы дают возможность определения их фитомассы в различных экорегионах Евразии по данным измерительной таксации.

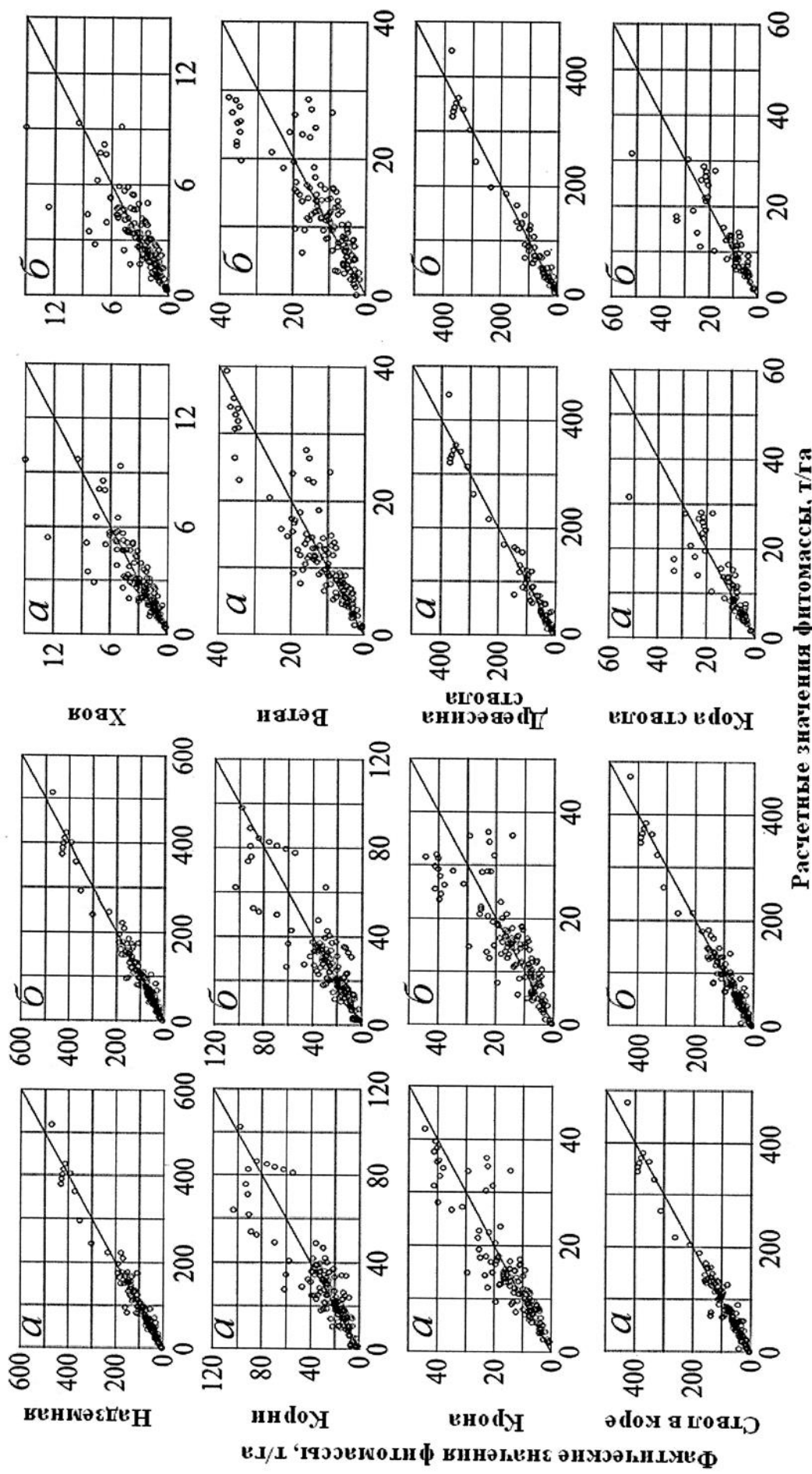


Рис. 5. Соотношение фактических значений и значений, полученных расчетом по независимым (а) и аддитивным (б) моделям фитомассы лиственичных древостоев.

## Список использованной литературы

*Усольцев В.А.* Фитомасса и первичная продукция лесов Евразии. Екатеринбург: УрО РАН, 2010. 570 с. (<http://elar.usfeu.ru/handle/123456789/2606>).

*Усольцев В.А.* Фитомасса модельных деревьев лесообразующих пород Евразии: база данных, климатически обусловленная география, таксационные нормативы. Екатеринбург: Урал. гос. лесотехн. ун-т, 2016. 336 с. ISBN 978-5-94984-568-4 (<http://elar.usfeu.ru/handle/123456789/5696>).

*Усольцев В.А., Колчин К.В., Воронов М.П.* Фиктивные переменные и смещения всеобщих аллометрических моделей при локальной оценке фитомассы деревьев (на примере *Picea L.*) // Эко-потенциал. 2017. № 1 (17). С. 22-39 (<http://elar.usfeu.ru/bitstream/123456789/6502/1/eko-17-02.pdf>)

*Усольцев В.А., Цепордей И.С. Шубаири С.О.Р., Дар Дж.А., Часовских В.П.* Аддитивные аллометрические модели фитомассы деревьев и древостоев двухвойных соснов как основа региональных таксационных нормативов для Евразии // Эко-потенциал. 2018. № 1 (21). С. 27-47 (<http://elar.usfeu.ru/handle/123456789/7261>).

*Baskerville G. L.* Use of logarithmic regression in the estimation of plant biomass // Canadian Journal of Forest Research. 1972. Vol. 2. P. 49-53.

*Bi H., Long Y., Turner J., Lei Y., Snowdon P., Li Y., Harper R., Zerihun A., Ximenes F.* Additive prediction of aboveground biomass for *Pinus radiata* (D. Don) plantations // Forest Ecology and Management. 2010. Vol. 259. P. 2301-2314.

*Cunia T., Briggs R.D.* Forcing additivity of biomass tables: some empirical results // Canadian Journal of Forest Research. 1984. Vol. 14. P. 376-384.

*Dong L., Zhang L., Li F.* A three-step proportional weighting system of nonlinear biomass equations // Forest Science. 2015. Vol. 61. No. 1. P. 35-45.

*Fu L. Y., Zeng W.S., Tang S.Z., Sharma R.P., Li H.K.* Using linear mixed model and dummy variable model approaches to construct compatible single-tree biomass equations at different scales – A case study for Masson pine in Southern China // Journal of Forest Science. 2012. Vol. 58. No. 3. P. 101–115.

*Reed D.D., Green E.J.* A method of forcing additivity of biomass tables when using nonlinear models // Canadian Journal of Forest Research. 1985. Vol. 15. P. 1184-1187.

*Tang S., Zhang H., Xu H.* Study on establish and estimate method of compatible biomass model // Scientia Silvae Sinica. 2000. Vol. 36. P. 19–27 (in Chinese with English abstract).

*Usoltsev V.A.* Forest biomass and primary production database for Eurasia. CD-version. The second edition, enlarged and re-harmonized. Yekaterinburg: Ural State Forest Engineering University, 2013. ISBN 978-5-94984-438-0 (<http://elar.usfeu.ru/handle/123456789/3059>).

*Usoltsev V.A.* Sample tree biomass data for Eurasian forests. CD-version in English and Russian. Yekaterinburg: Ural State Forest Engineering University. 2015. ISBN 978-5-94984-521-9 (<http://elar.usfeu.ru/handle/123456789/4931>).

*Usoltsev V.A.* Single-tree biomass data for remote sensing and ground measuring of Eurasian forests. CD-version in English and Russian. Yekaterinburg: Ural State Forest Engineering University. 2016. ISBN 978-5-94984-600-1 (<http://elar.usfeu.ru/handle/123456789/6103>).

*Работа выполнена в рамках Государственного задания Ботанического сада УрО РАН.*

**Рецензент статьи:** доктор сельскохозяйственных наук, профессор С.В. Залесов.